

## ผลกระทบของการผลิตกำลังไฟฟ้าจากพลังงานหมุนเวียน ต่อความมั่นคงในระบบจำหน่ายกำลังไฟฟ้า

### Effects of Renewable Power Generation on Electric Power Distribution System Security

ฐิติพงษ์ จารุวัฒน์ และ ธนัตชัย กุลวรวานิชพงษ์  
สาขาวิชาวิศวกรรมไฟฟ้า สำนักวิชาวิศวกรรมศาสตร์ มหาวิทยาลัยเทคโนโลยีสุรนารี  
อ.เมือง จ.นครราชสีมา 30000 โทร 04-9836768 Email: [Luzifer\\_K@hotmail.com](mailto:Luzifer_K@hotmail.com)

Thitipong Charuwat and Thanatchai Kulworawanichpong  
School of Electrical Engineering, Institute of Engineering, Suranaree University of Technology  
Muang District, Nakorn Ratchasima 30000 Thailand Tel: 04-9836768 E-mail: [Luzifer\\_K@hotmail.com](mailto:Luzifer_K@hotmail.com)

#### บทคัดย่อ

บทความนี้นำเสนอการวิเคราะห์ผลของการผลิตแบบกระจาย (distributed generation: DG) จากพลังงานหมุนเวียนต่อความมั่นคงในระบบจำหน่ายกำลังไฟฟ้า โดยเน้นที่ระบบ 22 kV ตามมาตรฐานการไฟฟ้าส่วนภูมิภาค การประเมินความมั่นคงจะใช้ดัชนีสมรรถนะ (performance index: PI) ช่วยบ่งชี้ถึงความเสี่ยงของการเกิดไฟฟ้าดับในระบบจำหน่ายที่ทำการวิเคราะห์ การศึกษาผลกระทบนี้ถูกนำมาทดสอบกับสายป้อนตัวอย่างของระบบจำหน่ายมาตรฐาน 37 โหนด 4.8 kV ของ IEEE และระบบจำหน่าย 22 kV ของมหาวิทยาลัยเทคโนโลยีสุรนารี ผลจากการจำลองแสดงให้เห็นว่า การติดตั้ง DG ภายใต้การควบคุมกำลังไฟฟ้ายกที่ที่เหมาะสมช่วยให้ระบบจำหน่ายมีความมั่นคงสูงขึ้น หรือมีความเสี่ยงในการเกิดไฟฟ้าดับน้อยลงด้วย

#### Abstract

This paper presents analysis of effects of distributed generation (DG) from renewable energy sources on power distribution security. This research focuses on power distribution systems, especially 22 kV level, which is the Provincial Electricity Authority of THAILAND (PEA) standard for electric power feeders. Security evaluation is simply defined by using the performance index which reflects risk of supply interruption to probably cause wide-area blackout. This paper employs the standard 37-node 4.8 kV IEEE test feeder and the 22 kV SUT feeder for Suranaree University of Technology as two test systems. As a result, installing DG with optimal reactive power generation can lead an

electrical power system to operate with high security level. Remarkably, this reduces risk of power supply interruption.

#### 1. คำนำ

ปัจจุบันความต้องการพลังงานไฟฟ้าเพิ่มสูงขึ้นและเริ่มมีแนวโน้มที่จะเกิดวิกฤตการณ์ทางด้านทรัพยากรเชื้อเพลิงที่ใช้ในการผลิตกระแสไฟฟ้า เช่น ก๊าซธรรมชาติ หรือน้ำมัน เป็นต้น [1-3] ซึ่งพลังงานเหล่านี้วันจะเพิ่มราคาขายต่อหน่วยสูงขึ้นและปริมาณของเชื้อเพลิงมีอัตราส่วนที่ลดลงอย่างเห็นได้ชัด ทำให้การค้นหาแหล่งพลังงานใหม่เพื่อทดแทนพลังงานหลัก ได้เข้ามามีบทบาทสำคัญเพื่อเพิ่มความมั่นคงด้านพลังงานให้ดีขึ้น ทั้งนี้การผลิตกำลังไฟฟ้าในเชิงพาณิชย์ได้นำพลังงานหมุนเวียน เช่น พลังลม พลังแสงอาทิตย์ หรือ ชีวมวล เป็นต้น มาช่วยในการผลิต ถึงแม้ว่าพลังงานเหล่านี้จะไม่สามารถนำไปเป็นพลังงานหลักได้ก็ตาม แต่ก็ช่วยลดค่าใช้จ่ายให้กับพลังงานหลักและยังเป็นการใช้ทรัพยากรอย่างคุ้มค่า

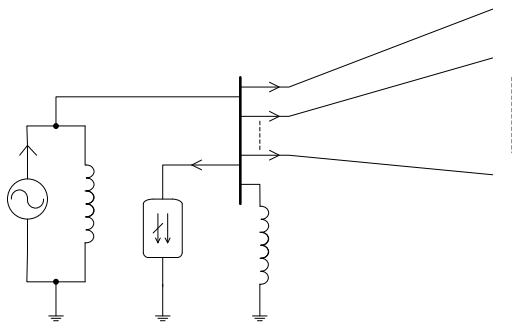
การผลิตกำลังไฟฟ้าจากพลังงานหมุนเวียน โดยทั่วไป มีกำลังผลิตติดตั้งไม่สูงมากนัก ด้วยข้อจำกัดทางด้านแหล่งพลังงานและการเชื่อมต่อระบบกับโรงไฟฟ้าประเภทนี้มีขนาดประมาณ 0.1 – 5 MW เท่านั้น ด้วยเงื่อนไขของแหล่งทรัพยากรทำให้ตำแหน่งติดตั้งกระจายไปตามพื้นที่ต่างๆ การเชื่อมต่อกำลังผลิตเหล่านี้เข้าสู่ระบบสายส่งของประเทศโดยปกติจะดำเนินการผ่านระบบจำหน่าย 22 kV ของการไฟฟ้าส่วนภูมิภาค หรือระบบจำหน่าย 24 kV ของการไฟฟ้านครหลวง เครื่องกำเนิดไฟฟ้าที่ใช้ ณ โรงไฟฟ้าพลังงานหมุนเวียนที่ต่อเข้ากับระบบดังกล่าวนี้เรียกว่า เครื่องกำเนิดไฟฟ้าแบบกระจาย (distributed generator: DG) และจะเรียกหน่วยการผลิตนี้ว่า หน่วยการผลิตแบบกระจาย (distributed generating plant: DGP) [4]

DG ปกติมีกำลังผลิตติดตั้งไม่สูงมากนัก แต่ส่งผลให้เกิดข้อดีคือช่วยลดต้นทุนการนำเข้าพลังงานที่ใช้ในการผลิตกระแสไฟฟ้า เพราะเชื้อเพลิงที่ใช้ในการทำงานของ DG ส่วนใหญ่มาจากแหล่งพลังงานที่ไม่หมดสิ้น เช่น ลม แสงแดด หรือแหล่งทรัพยากรเหลือใช้ ไม่ว่าจะเป็นซากพืชซากสัตว์หรือของเสียจากการเกษตร แต่กระนั้น การเพิ่ม DG เข้าไปในระบบต้องผ่านการวิเคราะห์ความมั่นคงในระบบอย่างรอบคอบเพื่อให้ DG ที่ติดตั้งช่วยทำให้ความมั่นคงของระบบเพิ่มขึ้นและระบบสามารถทำงานอยู่ในขอบเขตที่ปลอดภัย ไม่เสี่ยงต่อการเกิดไฟฟ้าดับ ซึ่งการประเมินความมั่นคงของระบบไฟฟ้าสามารถทำได้โดยการใช้อัตราสมรรถนะ (performance index: PI) [5-6] โดยสมมติให้การไหลของกำลังไฟฟ้าในระบบสามารถคำนวณค่าได้จากจากการคำนวณโหลดโพล์ (load flow calculation) จากผลเฉลยแรงดันไฟฟ้าและการไหลกำลังไฟฟ้าผ่านสายป้อนทำให้คำนวณค่า PI ได้ จากนั้นดำเนินการหาค่าที่เหมาะสมที่สุดของการจ่ายกำลังไฟฟ้านี้จาก DG เพื่อให้ระบบมีความมั่นคงสูงที่สุด

บทความนี้แบ่งเนื้อหาออกเป็นส่วนๆ ดังนี้ ส่วนที่ 2 เป็นการนำเสนอการคำนวณการไหลกำลังไฟฟ้าเพื่อหาผลเฉลยแรงดันโดยสังเขป ส่วนที่ 3 เป็นการคำนวณดัชนีสมรรถนะ ในส่วนที่ 4 รูปแบบของปัญหาค่าเหมาะที่สุดได้ถูกนำเสนอภายใต้ระเบียบวิธีการแก้ปัญหาค่าเหมาะที่สุดและผลการทำสอบได้นำการประเมินค่า PI ข้างต้นมาใช้กับระบบทดสอบมาตรฐานของ IEEE 37 โหนด [7] และระบบสายป้อนจำหน่าย 22kV ของมหาวิทยาลัยเทคโนโลยีสุรนารี

**2. การคำนวณการไหลของกำลังไฟฟ้า**

กำหนดให้ระบบไฟฟ้าที่พิจารณามีจำนวนบัสทั้งสิ้น n บัส โดยที่ กำหนดให้บัสหนึ่งบัสมีขนาดและมุมของแรงดันมีค่าคงที่และใช้เป็นค่าอ้างอิงสำหรับการคำนวณซึ่งจะเรียกบัสนี้ว่า บัสอ้างอิง (reference bus) หรือที่รู้จักกันในชื่อ บัสสลัก (slack bus)



รูปที่ 1 บัส k ที่มีเครื่องกำเนิดไฟฟ้า โหลด สายส่งเชื่อมต่ออยู่กับบัสอื่นๆ

พิจารณาบัส k ดังแสดงในรูปที่ 2.1 โดยการใช้วิธีวิเคราะห์แบบ โหนด (nodal analysis) จะได้สมการสมดุลกระแสที่โหนด k ใดๆ ดังนี้

$$y_{k,1}(V_k - V_1) + y_{k,2}(V_k - V_2) + \dots + y_{k,n}(V_k - V_n) = I_{G,k} - I_{D,k} \quad (1)$$

จัดรูปสมการใหม่จะได้สมการการไหลของกำลังไฟฟ้าเชิงซ้อนที่บัส k ใดๆ เป็น

$$(S_{G,k} - S_{D,k})^* = (V_k)^* \sum_{i=1}^n y_{k,i} (V_k - V_i) \quad (2)$$

โดยที่

$S_{G,k}$  และ  $S_{D,k}$  แทนกำลังไฟฟ้าเฟส a, b และ c ที่ผลิตจากเครื่องกำเนิดไฟฟ้าและโหลดที่บัส k ตามลำดับ

$V_k$  แทนแรงดันไฟฟ้าเฟส a, b และ c ที่บัส k

$y_{k,i}$  แทนแอดมิตแตนซ์เฟส a, b และ c ที่เชื่อมต่อระหว่างบัส k และบัส i

$V_i$  แทนแรงดันไฟฟ้าเฟส a, b และ c ที่บัส i

\* แทนตัวกระทำสังยุคเชิงซ้อน (Complex conjugate)

กำหนดให้

$$S_{sch} = P_{sch} + jQ_{sch}, P_{sch} = P_G + P_D \text{ และ } Q_{sch} = Q_G + Q_D$$

จะได้

$$(S_{sch,k})^* = (S_{G,k} - S_{D,k})^* = (V_k)^* \sum_{i=1}^n y_{k,i} (V_k - V_i) \quad (3)$$

จัดรูปสมการใหม่จะได้

$$\frac{P_{sch,k} - jQ_{sch,k}}{(V_k)} = \sum_{i=1}^n y_{k,i} V_k - \sum_{i=1}^n y_{k,i} V_i \quad (4)$$

จากการคำนวณหาบัสแอดมิตแตนซ์เมตริกซ์

$$[Y]_{bus} : Y_{k,k} = y_{k,i} \text{ และ } Y_{k,i} = -y_{k,i}$$

จะได้รูปสมการใหม่ดังนี้

$$\frac{P_{sch,k} - jQ_{sch,k}}{(V_k)} = Y_{k,k} V_k + \sum_{i=1}^n Y_{k,i} V_i \quad (5)$$

จากสมการที่ 5 ถือเป็นสมการที่นำไปใช้ในการคำนวณการไหลกำลังไฟฟ้า ซึ่งในการคำนวณนี้ จะต้องมีการกำหนดบัสสลัก เพื่อใช้เป็นเฟสอ้างอิงของมุมเฟสแรงดันในระบบซึ่งที่บัสนี้มีการควบคุมขนาดแรงดันบัสด้วย โดยปกติแล้วกำหนดให้ มุมเฟสเป็น 0 สำหรับบัสสลัก และไม่ต้องทำการคำนวณหาแรงดันที่บัสนี้ ทำให้จำนวนบัสที่ต้องคำนวณลดลง 1 บัส ดังนั้น สำหรับระบบ n บัส จะมีสมการแรงดันที่ต้องหาค่าตอบเพียง n-1 บัส เท่านั้น

สรุปขั้นตอนการคำนวณการไหลกำลังไฟฟ้าดังนี้

1. กำหนดค่าเริ่มต้นของขนาดและมุมของแรงดันที่บัสต่างๆ เพื่อนำไปใช้ในการคำนวณในรอบแรก และการคำนวณซ้ำในรอบต่อไป
2. คำนวณค่าแอมิตแตนซ์เมตริกซ์  $[Y]_{bus}$  ในรูประบบต่อหน่วย (per-unit-system)
3. คำนวณผลต่างของกำลังไฟฟ้าจริง  $P_{sch} = P_G + P_D$  ผลต่างกำลังไฟฟ้านอกที่  $Q_{sch} = Q_G + Q_D$  สำหรับบัสโหลด
4. ปรับปรุงแรงดันไฟฟ้าในรอบที่  $(h+1)$  ที่บัส  $k$  ใดๆ อาจจะใช้วิธีการคำนวณรอบเกาส์-ซีเดล (Gauss-Seidel iterative method) หรือ ระเบียบวิธีนิวตันราฟสัน (Newton-Raphson method) มาใช้งานก็ได้ อย่างไรก็ตาม ระเบียบวิธีนิวตันราฟสันได้รับความนิยมเป็นอย่างมากในการคำนวณผลเฉลยแรงดันไฟฟ้าในระบบไฟฟ้ากำลังในปัจจุบัน [8]
5. คำนวณค่าความคลาดเคลื่อนของแรงดันไฟฟ้า  $\Delta|V|$  ถ้า  $\Delta|V|$  มีค่ามากกว่าความคลาดเคลื่อนที่กำหนดไว้ ให้กลับไปคำนวณที่ขั้นตอนที่ 4 ใหม่
6. ถ้า  $\Delta|V|$  มีค่าน้อยกว่าค่าความคลาดเคลื่อนที่กำหนดไว้ ให้แสดงผลที่ทำการคำนวณได้

เมื่อได้ผลเฉลยแรงดันและมุมเฟสของระบบแล้ว สามารถคำนวณกำลังไฟฟ้าที่ไหลในสายส่งแต่ละเส้นจากบัสที่  $i$  ไปยังบัสที่  $j$  โดยไม่พิจารณาค่า half-line charging ได้ดังต่อไปนี้

$$I_{ij} = y_{ij}(V_i - V_j) \tag{6}$$

$$I_{ji} = y_{ji}(V_j - V_i) \tag{7}$$

$$S_{ij} = V_i I_{ij}^* \tag{8}$$

$$S_{ji} = V_j I_{ji}^* \tag{9}$$

**3. ดัชนีสมรรถนะ (Performance index : PI)**

การประเมินความมั่นคงในระบบไฟฟ้ากำลังดำเนินการได้จากการคำนวณดัชนีสมรรถนะของระบบ ถ้ากำหนดให้การไหลของกำลังไฟฟ้าของระบบที่พิจารณาสามารถคำนวณได้แล้ว จะได้การคำนวณดัชนีสมรรถนะ [3-4] ดังนี้

$$PI = \sum_{\forall i} \left( \frac{P_i}{P_{i,max}} \right)^{2n} \tag{10}$$

เมื่อ  $n$  เป็นจำนวนเต็มบวกใดๆ นอกจากนี้แล้วยังสามารถรวมผลของแรงดันตกได้เป็น

$$PI = \sum_{\forall i} \left( \frac{P_i}{P_{i,max}} \right)^{2n} + \sum_{\forall i} \left( \frac{\Delta|V_i|}{\Delta V_{max}} \right)^{2n} \tag{11}$$

โดยที่

PI คือ Performance index

$P_i$  คือ กำลังไฟฟ้าที่ไหลผ่านสายส่งเส้นที่  $i$

$P_i^{max}$  คือ พิกัดสูงสุดของสายส่งเส้นที่  $i$

$V_i$  คือ แรงดันบัสที่  $i$

$\Delta V_{max}$  คือ ผลต่างระหว่างแรงดันที่คำนวณได้กับค่าฐานของระบบ โดยปกติจะถูกกำหนดโดยการไฟฟ้า

$n$  คือจำนวนเต็มบวกใดๆ

จากสมการที่ (9) จะเห็นว่าค่า PI จะแปรผันตามการเปลี่ยนแปลงของแรงดันของแต่ละบัสและกำลังไฟฟ้าที่ไหลในสายส่งแต่ละเส้น ดังนั้นจึงเป็นดัชนีที่สะท้อนถึงความแปรปรวนของการไหลกำลังไฟฟ้าในสายส่ง นั่นหมายความว่า ถ้า PI มีค่าสูงจะทำให้กำลังในสายส่งมีโอกาสที่จะเกินพิกัดความจุของสายส่งได้สูง นั่นคือระบบนั้น จะมีความมั่นคงต่ำ ตรงข้ามกับระบบที่มีค่า PI สูงจะทำให้ระบบมีความมั่นคงสูง ดังนั้น PI จึงบ่งถึงความมั่นคงในระบบไฟฟ้ากำลังได้เป็นอย่างดี เมื่อนำ DG เข้ามาติดตั้งในระบบจำหน่าย การประเมินผลกระทบในรูปของความมั่นคงในระบบรูปแบบหนึ่งสามารถทำได้โดยใช้การคำนวณดัชนีสมรรถนะของระบบเป็นตัวบ่งชี้

**4. รูปแบบของปัญหา (Problem Formulation)**

โดยปกติเครื่องกำเนิดไฟฟ้าทำการจ่ายทั้งกำลังไฟฟ้าจริงและกำลังไฟฟ้านอกที่ให้กับระบบ ในกรณีของ DG ก็เช่นเดียวกัน จึงต้องมีการปรับค่าการจ่ายกำลังของ DG ให้เหมาะสมกับระบบเพื่อให้ค่า PI ของระบบมีค่าต่ำที่สุด ทั้งนี้เพราะค่า PI น้อยๆ สะท้อนถึงระบบมีความมั่นคงสูง ดังนั้น ปัญหาการเพิ่มความมั่นคงในระบบด้วยการติดตั้ง DG จะอยู่ในรูปของปัญหาค่าเหมาะที่สุด (optimization problem) โดยฟังก์ชันวัตถุประสงค์ที่ใช้ คือ PI ส่วนเงื่อนไขบังคับ ได้แก่ ข้อจำกัดการจ่ายกำลังไฟฟ้านอกที่ฟของตัว DG ตามสมการที่ (10)

ในกรณีของกำลังไฟฟ้าจริงจาก DG นั้น ต้องกำหนดให้มีค่าคงที่เนื่องจากถูกกำหนดด้วยอัตราการใช้พลังงานหมุนเวียนที่ให้ค่า MW คงที่ ตามที่ต้องการ จะได้ว่า

$$\begin{aligned} & \text{minimize} && \text{Performance Index} \\ & \text{subject to} && -a \leq Q_{DG} \leq b \end{aligned} \tag{12}$$

โดยที่

$a$  คือ ค่าพิกัดล่างของ DG

$b$  คือ ค่าพิกัดบนของ DG

ในการแก้ปัญหานั้น ดำเนินการโดยใช้ระเบียบวิธีการโปรแกรมลำดับควอดราติก (sequential quadratic programming: SQP) [9]

**5. ระบบทดสอบและผลการจำลอง**

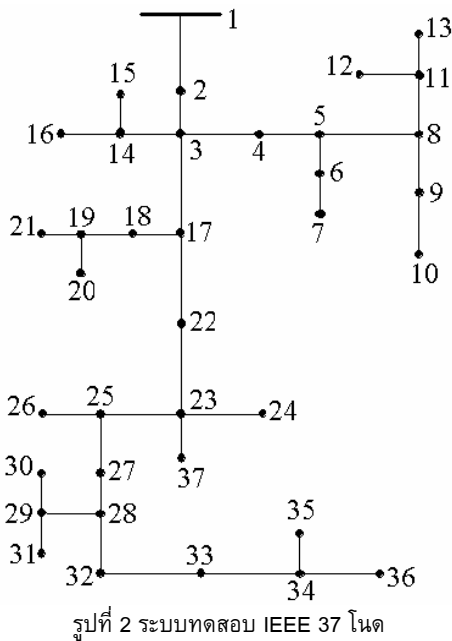
การศึกษานี้จะใช้โปรแกรม MATLAB เพื่อช่วยวิเคราะห์ความมั่นคงของระบบจำหน่ายทั้งก่อนและหลังการติดตั้ง DG โดยเริ่มจากคำนวณการไหลของกำลังไฟฟ้า จากนั้น จะคำนวณค่า PI และสุดท้ายคือ หาค่าการจ่ายกำลังไฟฟ้ารีแอกทีฟของ DG ที่เหมาะสมที่สุดสำหรับระบบทดสอบที่ใช้ ได้แก่ ระบบทดสอบมาตรฐาน IEEE 37 โนด [7] และระบบจำหน่าย 22 kV ของมหาวิทยาลัยเทคโนโลยีสุรนารี โดยมีรายละเอียดการจำลองผลและผลการคำนวณดังต่อไปนี้

**5.1 ระบบทดสอบมาตรฐาน IEEE 37 โนด**

ระบบทดสอบ 37 โนดของ IEEE ใช้กับระดับแรงดัน 4.8 kV ที่กำลังไฟฟ้าฐาน 100 kVA การทดลองแยกออกเป็น 4 กรณีดังนี้

ตารางที่ 1 กรณีทดสอบของระบบ 37 โนด

กรณี	ระบบ
1	ก่อนทำการติดตั้ง DG
2	ภายหลังติดตั้ง DG ที่โนด 8
3	ภายหลังติดตั้ง DG ที่โนด 25
4	ภายหลังติดตั้ง DG ที่โนด 8 และ 25



จากการแก้ปัญหาหาค่าเหมาะที่สุดของกำลังไฟฟ้ารีแอกทีฟสำหรับการติดตั้ง DG ซึ่งทดสอบทั้งหมด 30 รอบ โดยการสุ่มค่าเริ่มต้นแล้วนำมาหาค่าเฉลี่ย ผลการทดสอบทั้ง 4 กรณีแสดงได้ดังต่อไปนี้

ตารางที่ 2 การจ่าย Q ของ DG ในระบบทดสอบ IEEE 37 โนด

กรณี	DG ตัวที่ 1 โนด 8 (p.u.)		
	ค่าต่ำสุด	ค่าเฉลี่ย	ค่าสูงสุด
1	0	0	0
2	-0.884	1.350	3.707
3	0	0	0
4	-3.009	-1.311	0.743
กรณี	DG ตัวที่ 2 โนด 25 (p.u.)		
	ค่าต่ำสุด	ค่าเฉลี่ย	ค่าสูงสุด
1	0	0	0
2	0	0	0
3	-35.472	-30.233	-23.894
4	-5.000	0.844	3.230

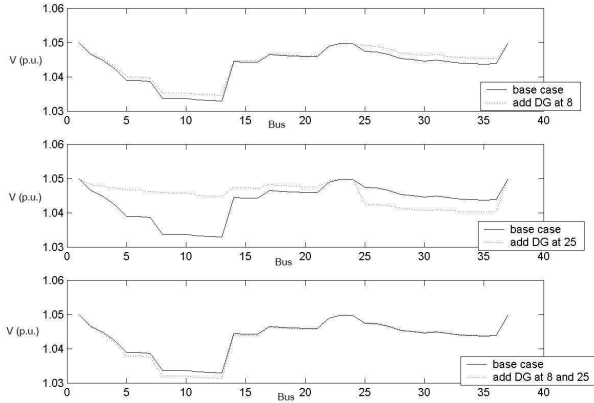
ตารางที่ 3 PI ของระบบทดสอบ IEEE 37 โนด

กรณี	Performance index		
	ค่าต่ำสุด	ค่าเฉลี่ย	ค่าสูงสุด
1	2.985	2.985	2.985
2	2.293	2.297	2.300
3	2.081	2.084	2.092
4	2.166	2.195	2.212

จากตารางที่ 3 ค่าเฉลี่ย PI ของระบบทดสอบเท่ากับ 2.985 เมื่อติดตั้ง DG เข้าไปที่ โนด 8 พบว่าค่า PI ลดลงเหลือ 2.297 เห็นได้ว่าระบบมีความมั่นคงเพิ่มขึ้นกว่าก่อนติดตั้ง DG จากรูปที่ 3 เห็นได้ว่าการติดตั้ง DG ที่โนดที่ 8 ทำให้แรงดันของแต่ละโนดมีค่าดีขึ้นกว่าก่อนติดตั้ง DG

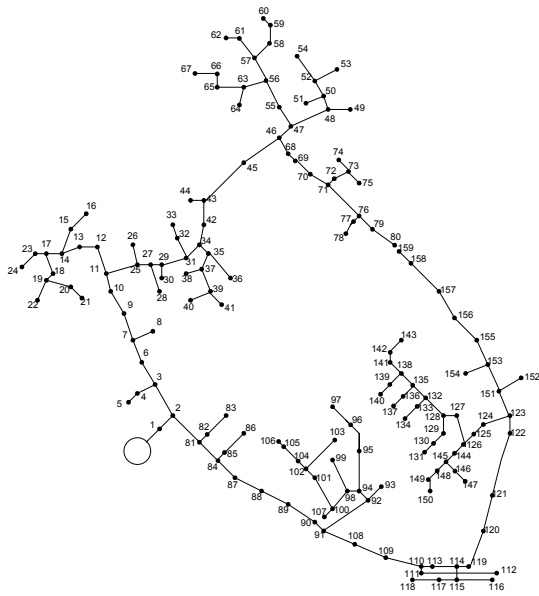
เมื่อทดลองเปลี่ยนตำแหน่งการติดตั้ง DG จาก โนด 8 เป็นโนด 25 พบว่าค่า PI ลดลงจากกรณีแรกเหลือ 2.084 ซึ่งดีกว่าการติดตั้งที่ โนด 8 แต่จากตารางที่ 3 พบว่าค่ากำลังไฟฟ้ารีแอกทีฟที่ DG ต้องจ่ายให้ระบบมีค่าต่ำถึง -30.233 จึงไม่เหมาะสมที่จะติดตั้ง DG ที่โนดนี้จากรูปที่ 3 เห็นได้ว่าการติดตั้ง DG ที่โนดที่ 25 ทำให้แรงดันของโนดที่ 1 ถึง 25 มีค่าดีขึ้นกว่าก่อนติดตั้ง DG อย่างมาก แต่โนดที่ 25 เป็นต้นไปมีค่าแรงดันที่ไม่ดีนักทั้งนี้เพราะการติดตั้ง DG ที่โนดนี้ต้องการค่า PI ที่น้อยที่สุด ดังนั้นจากสมการคำนวณกำลังไฟฟ้าในสายส่ง (6-7) จะเห็นว่าค่า PI จะแปรผกผันตรงกับ ผลต่างแรงดันของแต่ละโนด ดังนั้นการหาค่า PI ที่ต่ำที่สุดจึงเป็นการพยายามรักษาแรงดันของแต่ละโนดไม่ให้แตกต่างกันมากนัก ซึ่งจากรูปที่ 3 เห็นได้ว่าระบบจะพยายามรักษาแรงดันแต่ละโนดให้สม่ำเสมอ

เมื่อทดลองติดตั้ง DG ทั้งโนดที่ 8 และ 25 พบว่า PI ของระบบลดลงจากกรณีแรกเหลือ 2.195 ซึ่งการจ่ายค่ากำลังไฟฟ้ารีแอกทีฟของ DG ทั้งคู่อยู่ในเกณฑ์ที่ยอมรับได้ ผลเฉลยแรงดันมีค่าใกล้เคียงกับกรณีที่ไม่ได้ติดตั้ง DG ทั้งนี้อาจเป็นเพราะตำแหน่งที่ติดตั้ง DG อาจไม่เหมาะสมกับการทำงานของ DG แต่ละหน่วย ทำให้การประสานงานกันของ DG ไม่ดีเท่าที่ควร



รูปที่ 3 ผลเฉลยแรงดันก่อนและหลังติดตั้ง DG

5.1 ระบบสายป้อนจำหน่ายมหาวิทยาลัยเทคโนโลยีสุรนารี 159 โหนด  
 ระบบสายป้อนมหาวิทยาลัยเทคโนโลยีสุรนารี (มทส.) 159 โหนดใช้  
 กับระดับแรงดัน 22 kV ที่ค่ากำลังไฟฟ้าฐาน 100kVA การทดลองแยก  
 ออกเป็น 4 กรณีเช่นเดียวกับระบบทดสอบ IEEE 37 โหนด



รูปที่ 4 ระบบทดสอบสายป้อนมหาวิทยาลัยเทคโนโลยีสุรนารี 159 โหนด

จากการแก้ปัญหาค่าเหมาะที่สุดของกำลังไฟฟ้าร์แอกทีฟสำหรับการ  
 การติดตั้ง DG ซึ่งทดสอบทั้งหมด 30 รอบ โดยการสุ่มค่าเริ่มต้นแล้ว  
 นำมาหาค่าเฉลี่ย ผลการทดสอบทั้ง 4 กรณีแสดงได้ดังต่อไปนี้

ตารางที่ 4 กรณีทดสอบระบบสายป้อน มทส. 159 บัส

กรณี	ระบบ
1	ก่อนทำการติดตั้ง DG
2	ภายหลังติดตั้ง DG ที่โหนด 44
3	ภายหลังติดตั้ง DG ที่โหนด 120
4	ภายหลังติดตั้ง DG ที่โหนด 44 และ 120

ตารางที่ 5 PI ของระบบสายป้อน มทส. 159 โหนด

กรณี	Performance index		
	ค่าต่ำสุด	ค่าเฉลี่ย	ค่าสูงสุด
1	4,090,000.00	4,090,000.00	4,090,000.00
2	2,920.000	2,920.000	2,920.000
3	12,644.000	12,644.000	12,644.000
4	15,554.000	15,554.000	15,554.000

ตารางที่ 6 การจ่าย Q ของ DG ในระบบสายป้อน มทส. 159 โหนด

กรณี	DG ตัวที่ 1 โหนด 44		
	ค่าต่ำสุด	ค่าเฉลี่ย	ค่าสูงสุด
1	0	0	0
2	1.762	4.483	5.000
3	0	0	0
4	-5.000	0.077	5.000
กรณี	DG ตัวที่ 2 โหนด 120		
	ค่าต่ำสุด	ค่าเฉลี่ย	ค่าสูงสุด
1	0	0	0
2	0	0	0
3	-5.000	-2.286	2.871
4	0.976	4.492	5.000

จากตารางที่ 6 ค่าเฉลี่ย PI ของระบบทดสอบเท่ากับ  
 4,090,000.00 เมื่อติดตั้ง DG เข้าไปที่ โหนด 44 พบว่าค่า PI ลดลงเหลือ  
 2,920.000 เห็นได้ว่าระบบมีความมั่นคงเพิ่มขึ้นกว่าก่อนติดตั้ง DG

เมื่อทดลองเปลี่ยนตำแหน่งการติดตั้ง DG จาก โหนด 44 เป็นโหนด  
 120 พบว่าค่า PI ลดลงจากกรณีแรกเหลือ 12,644.000 ซึ่งไม่ดีเท่าการ  
 ติดตั้งที่ โหนด 44 แต่จากตารางที่ 3 พบว่าค่ากำลังไฟฟ้าร์แอกทีฟที่ DG  
 ต้องจ่ายให้ระบบมีค่าต่ำกว่าการติดตั้งที่โหนด 44

เมื่อทดลองติดตั้ง DG ทั้งโหนดที่ 8 และ 25 พบว่า PI ของระบบ  
 ลดลงจากกรณีแรกเหลือ 15,554.000 ซึ่งการจ่ายค่ากำลังไฟฟ้าร์แอก  
 ทีฟของ DG ทั้งคู่อยู่ในเกณฑ์ที่ยอมรับได้

6. สรุป

บทความนี้นำเสนอการวิเคราะห์ผลของ DG ต่อความมั่นคงใน  
 ระบบจำหน่าย ผ่านการประเมินความมั่นคงโดยใช้ดัชนีสมรรถนะ  
 (performance index: PI) เพื่อป้องกันความเสี่ยงของการเกิดไฟฟ้าดับ  
 ในระบบจำหน่ายที่ทำการวิเคราะห์ จากการทดสอบกับสายป้อน  
 ตัวอย่างของระบบจำหน่าย ได้แก่ ระบบทดสอบ IEEE 37 โหนด และ  
 มหาวิทยาลัยเทคโนโลยีสุรนารี 159 โหนด แสดงให้เห็นว่าความมั่นคง  
 ของระบบไฟฟ้าหลังการติดตั้ง DG ความมั่นคงมากขึ้นเป็นการลดความ  
 เสี่ยงของการเกิดไฟฟ้าดับในระบบจำหน่าย โดยดูได้จากค่า PI ของ  
 ระบบก่อนการติดตั้งเปรียบเทียบกับหลังการติดตั้ง อย่างไรก็ตาม การ

เพิ่มขึ้นของดัชนีความมั่นคงนี้ขึ้นอยู่กับการควบคุมกำลังไฟฟ้าร์แอกทีฟของ DG ด้วย

#### 7. กิตติกรรมประกาศ

ขอขอบคุณการไฟฟ้าส่วนภูมิภาค จังหวัดนครราชสีมา ที่ให้ความอนุเคราะห์ข้อมูลระบบทดสอบ และมหาวิทยาลัยเทคโนโลยีสุรนารีที่ให้การสนับสนุนงานวิจัยวิทยานิพนธ์นี้

#### 8. เอกสารอ้างอิง

1. G. Boyle, "Renewable energy: power for sustainable future", Oxford University Press, London, 2000
2. M.C. William, "Fuel cells and the world energy future", IEEE Power Engineering Society Summer Meeting, Vol. 1, 15 – 19 July 2001, pp. 725
3. H. Khatib, "Electrical power in developing countries", Power Engineering Journal, Vol. 12, Issue 5, pp. 239 – 247, 1998
4. H.L. Willis, W.G. Scott, "Distributed power generation: planning and evaluation", Marcel Dekker, 2000
5. A.J. Wood, B.F. Wollenberg, "Power generation, operation and control", John Wiley & Sons, New York, 1996
6. C.I. Faustino Argeira, C.M. Machado Ferreira, J.A. Dias Pinto, F.P. Maciel Barbosa, "Contingency screening and ranking algorithm using two different sets of security performance indices", IEEE Bologna PowerTech Conference, 23 – 26 June 2003, Bologna, Italy, pp. 1 – 5
7. Distribution System Subcommittee, "IEEE 37 node test feeder", IEEE Power Engineering Society, 1998
8. H. Saadat, "Power system analysis", McGraw-Hill, Singapore, 2004
9. J.A. Momoh, "Electric power system applications of optimization", Marcel Dekker, New York, 2001